

## ИССЛЕДОВАНИЕ ЭФФЕКТА ОХЛАЖДЕНИЯ И НАГРЕВА ДЫРОК СВЕТОМ В *p*-Ge

Дедулович С., Кацлерис Ж.

Рассчитаны спектральные, концентрационные и температурные зависимости изменения электропроводности и средней энергии в *p*-Ge при возбуждении дырок инфракрасным светом. Расчеты проведены с помощью двухчастичного метода Монте-Карло с учетом рассеяния дырок друг на друге. Получено удовлетворительное согласие между расчетными и экспериментальными данными.

*Введение.* В экспериментальных работах [1, 2] было показано, что под воздействием инфракрасного излучения электропроводность *p*-Ge может как уменьшаться, так и увеличиваться, что связывалось с нагревом или охлаждением возбуждаемых светом дырок. Причина возникновения столь необычного эффекта может быть объяснена следующим образом [1-4]. Поглотив квант света  $h\nu$ , тяжелая дырка с энергией  $\epsilon_i$  переходит в легкую зону, приобретая при этом энергию  $\epsilon_f = \epsilon_i + h\nu$ . Так как плотность состояний в тяжелой зоне больше, любое столкновение фотодырки выбрасывает ее из легкой зоны в тяжелую, в которой и происходит ее термализация за счет испускания каскада оптических фононов. После испускания  $n$  фононов разность между конечной энергией  $\epsilon_f$  и  $\epsilon_i$  будет

$$\epsilon_f - \epsilon_i = h\nu - n\epsilon_0, \quad (1)$$

где  $\epsilon_0$  — энергия оптического фонона. Видно, что в зависимости от  $h\nu$  разность  $\epsilon_f - \epsilon_i$  может быть как положительной, так и отрицательной, т. е. возбуждение фотодырок может привести как к увеличению, так и к уменьшению их средней энергии по сравнению с равновесной.

Несмотря на то что физическая причина возникновения эффекта известна, при теоретическом его рассмотрении было достигнуто лишь качественное соответствие между рассчитанной и измеренной спектральными зависимостями, а концентрационную и температурную зависимости, обнаруженные в эксперименте, описать не удалось [4]. Отметим, что расчет в [4] проведен в приближении электронной температуры, а исследования эффекта охлаждения, возникавшего в электрическом поле, показали, что форма функции распределения при этом существенно отличается от максвелловской [5].

В настоящей работе рассчитаны спектральные, концентрационные и температурные зависимости изменения электропроводности и средней энергии в *p*-Ge при линейном по интенсивности инфракрасного света возбуждении без упрощающих предположений о форме функции распределения тяжелых дырок и с учетом их рассеяния друг на друге.

### 1. Теория

При теоретическом рассмотрении данного эффекта ограничимся, как в [3, 4], однозонным приближением. Дело в том, что при линейном возбуждении [2] интенсивность света мала, а из-за большей плотности состояний в тяжелой зоне любой акт рассеяния легкой фотовозбужденной дырки переводит ее в тяжелую зону. Следовательно, вероятность ухода легкой дырки в тяжелую зону

будет гораздо больше, нежели вероятность ее прихода в результат поглощения кванта света. Это обстоятельство позволяет пренебречь накоплением легких дырок и записать замкнутое кинетическое уравнение для тяжелой зоны, в котором поглощение света тяжелой дыркой, переход ее в легкую зону и последующее возвращение в тяжелую рассматриваются как некий составной механизм рассеяния, перебрасывающий тяжелую дырку из состояния с энергией  $\epsilon$  в состояние с  $\epsilon_1$ .<sup>1</sup> Это кинетическое уравнение имеет следующий вид:

$$\frac{\partial}{\partial t} f + eE \frac{\partial}{\partial p_x} f - S(f) = IS^{(ef)}, \quad (2)$$

где в столкновительном операторе, записанном в правой части уравнения и описывающем взаимодействие дырок со светом, явно выделена интенсивность света  $I$ . Остальные обозначения в (2) общепринятые, а внешнее тянувшее электрическое поле  $E \parallel 0p_x$ .

Наша цель — решить уравнение (2), определить функцию распределения  $j$  и рассчитать коэффициент  $\beta$ :

$$j = \sigma_0 E (1 + \beta I), \quad (3)$$

определеняющий изменение тока в образце при его освещении. Здесь  $\sigma_0$  — темновая электропроводность.

Для нахождения решения (2) воспользуемся, как обычно, приближением малой анизотропии функции распределения и представим ее в следующем виде [6]:

$$f(p, t) = \Phi(\epsilon, t) + \frac{p_x}{p} \varphi(\epsilon, t), \quad (4)$$

где  $\Phi$  и  $\varphi$  — симметричная и антисимметричная части функции распределения соответственно. В решаемой задаче импульсом фотона можно пренебречь, следовательно, оператор электрон-фотонного взаимодействия является симметричным и непосредственно на величину  $\varphi$  не влияет. Учитывая это, легко убедиться в том, что связь между  $\varphi$  и  $\Phi$  выразится в стандартной форме (см., например, [6]):

$$\varphi(x) = eE \left( \frac{2}{m_h k T} \right)^{1/2} \tau(x) \sqrt{x} \frac{d}{dx} [-\Phi(x)]. \quad (5)$$

При написании (5) мы предположили, что тяжелая зона является параболической с эффективной массой  $m_h$ , перешли к безразмерной энергии  $x = \epsilon/kT$ , где  $T$  — температура решетки, и учли тот факт, что  $p$ -Ge является ковалентным полупроводником, для которого справедливо приближение времени релаксации импульса  $\tau(x)$ . С учетом (5) выражение для линейного по  $E$  тока запишем следующим образом:

$$j = \frac{2}{3} \frac{e p_0}{\sqrt{\pi}} \left( \frac{2kT}{m_h} \right)^{1/2} \int_0^{\infty} dx x \varphi(x), \quad (6)$$

где  $p_0$  — концентрация дырок. Функция  $\Phi(x)$ , необходимая для расчета  $j$ , должна быть определена из кинетического уравнения для симметричной части функции распределения. Указанное уравнение получим, усредняя (2) с учетом (4) по угловым переменным. В итоге имеем

$$\frac{\partial}{\partial t} \Phi(x, t) = S_u(\Phi) + IS^{(ef)}(\Phi). \quad (7)$$

Отметим, что полевой член уравнения (2) в (7) учитывать не надо, ибо его вклад в ток пропорционален  $E^3$ .

Разложим теперь  $\Phi$  в ряд по малому параметру  $I$ :

$$\Phi(x, t) = \Phi_0(x) + \frac{I}{I^*} \Phi_1(x, t), \quad (8)$$

<sup>1</sup> Для определенности будем полагать, что дырка возвращается в тяжелую зону без потери энергии, однако это ограничение не является принципиальным.

где  $I^*$  — нормирующий множитель. Подставляя (8) в (7), видим, что  $\Phi_0 = Ce^{-x}$ , а в уравнение для  $\Phi_2$  входит оператор  $S_0^{(ef)}$  от функции  $\Phi_0$ . Указанный оператор должен содержать как член ухода, так и член прихода. В первый из них входит константа, характеризующая интенсивность взаимодействия дырок со светом. Ее легко связать с коэффициентом поглощения дырками инфракрасного света  $\alpha$ . Так как возвращение дырки в тяжелую зону определяется составным механизмом рассеяния, определить член прихода можно только косвенным путем, пользуясь законом сохранения частиц. Нетрудно убедиться в том, что оператор  $S_0^{(ef)}$  может быть представлен в следующем виде:

$$S_0^{(ef)}(\Phi_0) = -\frac{\sqrt{\pi} \alpha}{2\hbar v p_0 \sqrt{x_i}} \left[ \delta(x - x_i) - \sqrt{\frac{x_i}{x_t}} \delta(x - x_t) \right], \quad (9)$$

где множитель перед членом прихода учитывает изменение плотности состояний в точке  $x_i$  энергетической оси. Для определения  $x_i$ , входящей в (9), будем пользоваться законом сохранения энергии. Импульсом фотона при этом можно пренебречь и принять, что обе зоны изотропные: тяжелая — параболическая, а легкая — кейновская.

Подставляя теперь (9) и (8) в (7), введя обозначение

$$I^* = \frac{2}{\sqrt{\pi}} \frac{\hbar v p_0}{\alpha} \quad (10)$$

и переходя к функции  $F(x, t) = \sqrt{x} \Phi_2(x, t)$ , определяющей плотность частиц на энергетической оси, получаем окончательное кинетическое уравнение

$$\frac{\partial}{\partial t} F(x, t) = \sqrt{x} S_0 \left( \frac{F}{\sqrt{x}} \right) - [\delta(x - x_i) - \delta(x - x_t)] \quad (11)$$

для поправки к симметричной части функции распределения, возникающей из-за взаимодействия дырок со светом.

Подставляя (8) в (5), а далее в (6) и сравнивая с (3), получаем следующее выражение для коэффициента  $\beta$ :

$$\beta = \frac{1}{I^* I_0} \int_0^\infty dx F(x) \left[ \frac{3}{2} \tau(x) + x \frac{d}{dx} \tau(x) \right], \quad (12)$$

где

$$I_0 = \int_0^\infty dx x^{\frac{1}{2}} \tau(x) e^{-x}. \quad (13)$$

Средняя энергия дырок при фотовозбуждении описывается соотношением

$$\langle \epsilon \rangle = \frac{3}{2} kT \left[ 1 + \frac{4}{3\sqrt{\pi}} \frac{I}{I^*} I_2 \right], \quad (14)$$

где

$$I_2 = \int_0^\infty dx x F(x). \quad (15)$$

Уравнение (11), которое необходимо решить для определения  $\beta$  и  $I_2$ , является аналогом уравнения, описывающего поведение электронов в слабо греющем электрическом поле [7]. Для его решения мы пользовались двухчастичным методом Монте-Карло, который описан в [7]. В операторе  $S_0$  учитывалось рассеяние на акустических и оптических фонах и рассеяние дырок друг на друге. Метод учета последнего механизма в двухчастичной процедуре Монте-Карло описан в [8]. При расчете  $\tau(x)$  было учтено рассеяние на фонах и ионизованных примесях. Выражения для операторов и соответствующих времен релаксации можно найти в [6, 7].

## 2. Результаты расчетов и их обсуждение

При расчете были использованы следующие параметры:  $m_h = 0.36m_0$ , эффективная масса на дне легкой зоны  $m_l = 0.04m_0$ , коэффициент непарараболичности  $2 \text{ эВ}^{-1}$ , скорость звука  $5.4 \cdot 10^3 \text{ м/с}$ , плотность  $5.33 \cdot 10^3 \text{ кг/м}^3$ , константа деформации

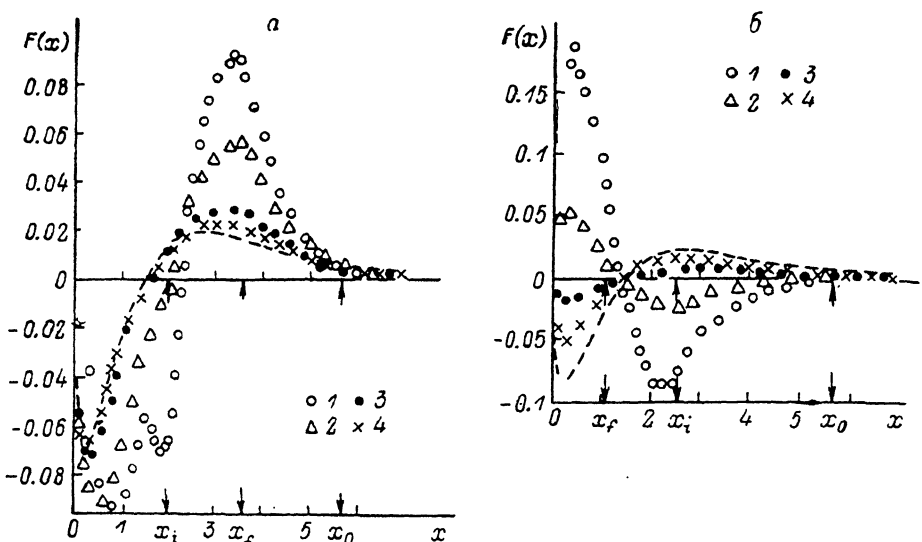


Рис. 1. Функция распределения при фотовозбуждении дырок инфракрасным светом с различной длиной волны в некомпенсированном  $p$ -Ge при  $T=77 \text{ К}$  и различной концентрации дырок.

Штриховая кривая — расчет в приближении электронной температуры. *a* —  $14.1$  ( $h\nu = 85 \text{ мэВ}$ ), *b* —  $12.1 \text{ мкм}$  ( $h\nu = 102 \text{ мэВ}$ ).  $p_0, \text{ см}^{-3}$ : *a* —  $1 - 10^{12}, 2 - 10^{14}, 3 - 6 \cdot 10^{14}, 4 - 10^{16}$ ; *b* —  $1 - 10^{14}, 2 - 6 \cdot 10^{14}, 3 - 4 \cdot 10^{14}, 4 - 4 \cdot 10^{16}$ .

мационного потенциала  $6 \text{ эВ}$ , константа связи с оптическими фононами  $9 \cdot 10^{10} \text{ эВ/м}$ , характерная температура оптических фононов  $430 \text{ К}$ , относительная диэлектрическая проницаемость  $16$ .

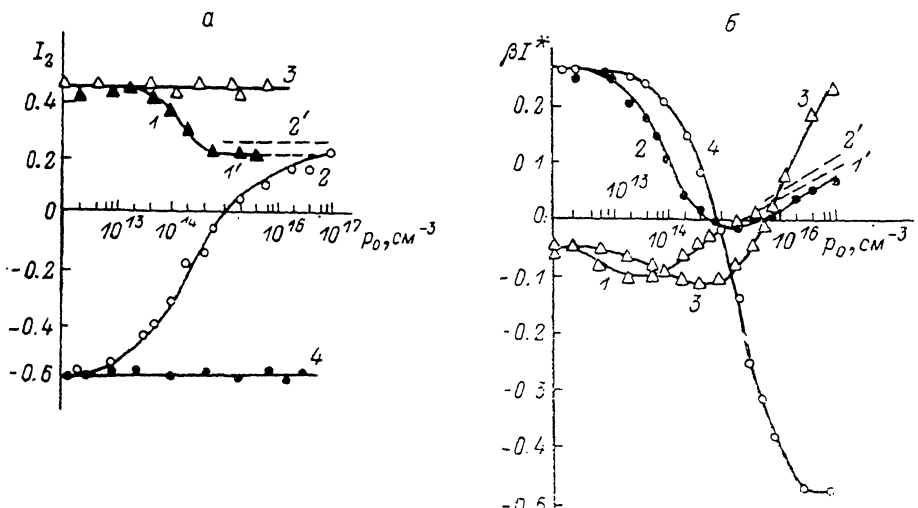


Рис. 2. Зависимость  $I_2$  (*a*) и коэффициента  $\beta$  (*б*) от концентрации дырок в  $p$ -Ge при  $T=77 \text{ К}$ . *1—4* — расчет с учетом (*1, 2*) и без учета (*3, 4*) междырочных столкновений; *1', 2'* — расчет в приближении электронной температуры;  $\lambda, \text{ мкм}$ : *1, 1'*, *3* —  $14.1$ ; *2, 2'*, *4* —  $12.1$ .

Уже отмечалось, что в зависимости от энергии кванта могут реализоваться две ситуации. При  $x_i - x_f > 0$  фотовозбуждение приводит к разогреву, а при  $x_i - x_f < 0$  — к охлаждению дырок. Функции распределения, соответствующие

этим двум случаям в некомпенсированном  $p$ -Ge при  $T=77$  К и различной концентрации дырок, показаны на рис. 1. Как видно из рисунка, в отсутствие междырочных столкновений при  $x \approx x_i$  образуется провал функции распределения, а при  $x \approx x_f$  — обогащенный носителями заряда участок. При  $x_f < x_i$  обогащенный участок образуется в области малых энергий и дырки в среднем охлаждаются. С ростом  $p_0$  эти особенности сглаживаются и форма функции распределения приближается к максвелловской. Из рис. 1, б видно, что при фотоохлаждении междырочные столкновения инвертируют функцию распределения дырок.

На рис. 2 показаны концентрационные зависимости интеграла  $I_2$  и коэффициента  $\beta$ , определяющие изменение средней энергии дырок и электропроводности образца при его освещении инфракрасным светом. Результаты на рис. 2 рассчитаны при тех же энергиях возбуждающего кванта, что и функции распределения, представленные на рис. 1. Для сравнения на рис. 2 показаны зависимости, рассчитанные с учетом (кривые 1, 2), без учета (кривые 3, 4) междырочных столкновений, а также в приближении электронной температуры (кривые 1', 2'). Из рис. 2, а видно, что междырочные столкновения существенно влияют на среднюю энергию дырок, а при фотоохлаждении  $I_2$  даже меняет знак ( $p_0 = -8 \cdot 10^{14} \text{ см}^{-3}$ ). Без учета междырочного взаимодействия  $I_2$  не зависит от концентрации ионизованных примесей (рис. 2, а, кривые 3, 4), так как из (11) видно, что  $F(x)$  не зависит от интенсивности упругих механизмов рассеяния. Более сложная зависимость от  $p_0$  характерна для коэффициента  $\beta$  (рис. 2, б), ибо на

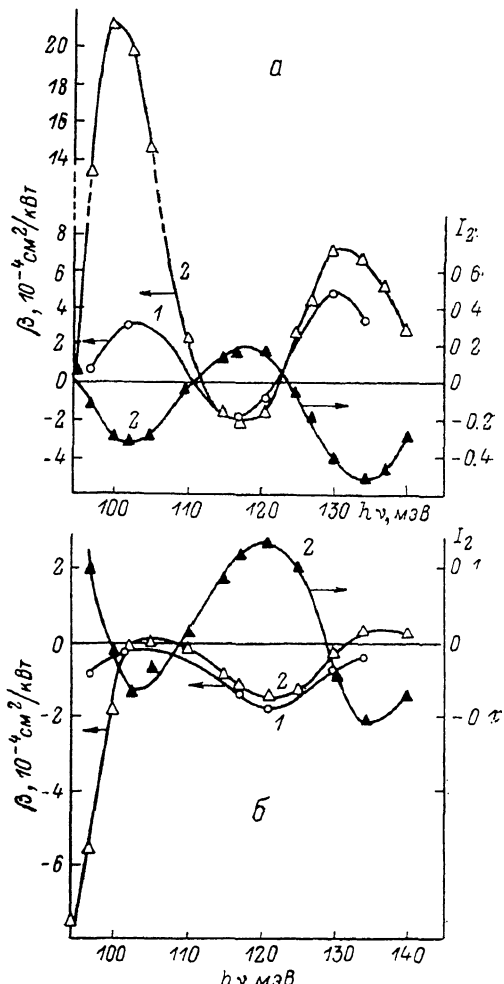


Рис. 3. Зависимости  $\beta$  и  $I_2$  от энергии фотона в  $p$ -Ge при  $T=77$  К.

$y_0, \text{ см}^{-3}$ : а —  $7 \cdot 10^{13}$ , б —  $6 \cdot 10^{14}$ . 1 — эксперимент [<sup>2</sup>], 2 — расчет.

его величину влияют не только междырочные столкновения, но и рассеяние на ионизованных примесях. Обычно по знаку  $\beta$  судят о том, увеличивается или уменьшается средняя энергия фотовозбужденных дырок, при этом полагают, что знаки  $\beta$  и  $I_2$  противоположны. Из рис. 2 видно, что такой однозначной связи между этими величинами во всем интервале  $p_0$  нет. Так, например, в некомпенсированных образцах и в области больших  $p_0$  знаки  $\beta$  и  $I_2$  совпадают при обеих  $\lambda$ .

На рис. 3 показаны спектральные зависимости абсолютной величины  $\beta$  и интеграла  $I_2$  в некомпенсированном  $p$ -Ge при  $T=77$  К и двух концентрациях ионизованных примесей. Необходимые для расчета абсолютной величины  $\beta$  данные о коэффициенте абсорбции  $\alpha$  были позаимствованы из работы [<sup>9</sup>]. На рис. 3 также показана экспериментально определенная зависимость  $\beta$  [<sup>2</sup>]. Принимая во внимание тот факт, что при расчете не учитывалась гофрировка тяжелой зоны, соответствие между теорией и экспериментом следует признать удовлетворительным, за исключением длинноволнового участка спектра.

Отметим, что в данной области спектра величина  $\alpha$  существенно возрастает, что и обуславливает увеличение расчетной величины  $\beta$ . Для улучшения соответствия, на наш взгляд, следовало бы провести измерения  $\beta$  и  $\alpha$  на тех же образцах и сравнить экспериментально определенное отношение  $\beta/\alpha$  с рассчитанным теоретически. Необходимо также точно знать концентрацию дырок в исследованных образцах, ибо величина  $\beta$  очень чувствительна к  $p_0$ .

Мы рассчитали также и температурные зависимости  $\beta$  и  $I_2$  для образца с  $p_0 = 7 \cdot 10^{13} \text{ см}^{-3}$  и длины волны возбуждающего света  $\lambda = 9.5 \text{ мкм}$ . С ростом температуры  $\beta$  и  $I_2$  практически одновременно при  $T_I \approx 180 \text{ К}$  меняют знак и при более высоких температурах фотоохлаждение сменяется фотонагревом. Расчетная температура инверсии неплохо соответствует экспериментальным данным работы [2], в которой для таких условий было получено  $T_I = 170 \text{ К}$ .

**Заключение.** Проведенные расчеты показали, что эффект охлаждения возникает при существенном отклонении формы функции распределения от максвелловской. Сам эффект чувствителен к интенсивности междырочных столкновений в области промежуточных концентраций дырок. При приближении функции распределения в пассивной области к максвелловскому виду фотоохлаждение сменяется фотонагревом.

Отметим также, что знаки изменения электропроводности и средней энергии неизбежательно противоположны. Это надо учитывать при экспериментальном исследовании эффекта охлаждения.

Приведенные в настоящей работе результаты показали, что изложенный метод расчета может быть использован для определения параметров плазмы носителей заряда полупроводников, возбуждаемых светом. Метод может быть обобщен и на более сложные ситуации. Например, можно учесть наличие дырок в легкой зоне и гофрировку зоны тяжелых дырок.

Авторы выражают благодарность И. Д. Ярошецкому и сотрудникам его лаборатории за полезное обсуждение результатов работы, а также А. Матулису за прочтение рукописи и ценные замечания.

#### Список литературы

- [1] Валов П. М., Ярошецкий И. Д., Яссевич И. Н. // Письма ЖЭТФ. 1974. Т. 20. В. 7. С. 448—452.
- [2] Берегулин Е. В., Валов П. М., Ярошецкий И. Д. // ФТП. 1978. Т. 12. В. 1. С. 109—116.
- [3] Яссевич И. Н., Ярошецкий И. Д. // ФТП. 1975. Т. 9. В. 5. С. 857—865.
- [4] Берегулин Е. В., Ребане Ю. Т., Ярошецкий И. Д., Яссевич И. Н. // ФТП. 1982. Т. 16. В. 8. С. 1421—1426.
- [5] Канцлерис Ж., Матулис А. // Лит. физ. сб. 1987. Т. 27. № 6. С. 677—685.
- [6] Денис В., Пожела Ю. Горячие электроны. Вильнюс, 1971. 289 с.
- [7] Kancleris Ž., Matulis A. // J. Phys. C: Sol. St. Phys. 1987. V. 20. P. 1273—1284.
- [8] Дедулевич С., Канцлерис Ж., Матулис А. // ФТП. 1988. Т. 22. В. 5. С. 881—886.
- [9] Васильева М. А., Воробьев Л. Е., Стафеев В. И. // ФТП. 1967. Т. 1. В. 1. С. 29—33.

Институт физики полупроводников  
АН ЛитССР  
Вильнюс

Получена 8.06.1989  
Принята к печати 24.10.1989